

## АМОРФИЗАЦИЯ РЕДКОЗЕМЕЛЬНЫХ МОЛИБДАТОВ ПРИ ВОЗДЕЙСТВИИ ВЫСОКОГО ДАВЛЕНИЯ

Е.Г.Понятовский, В.В.Синицын, Р.А.Диланян, Б.С.Редькин

Институт физики твердого тела РАН  
142432 Черноголовка, Московская обл., Россия<sup>1)</sup>

Поступила в редакцию 29 декабря 1994 г.

Найдено, что барическая обработка до давлений  $\sim 7$  ГПа кристаллической  $\beta'$ -модификации соединений  $Gd_2(MoO_4)_3$ ,  $Tb_2(MoO_4)_3$ ,  $Sm_2(MoO_4)_3$  и  $TbGd(MoO_4)_3$  приводит к их аморфизации. Изучены термические интервалы стабильности и определены энталпии кристаллизации аморфных состояний этих соединений.

При атмосферном давлении соединения  $R_2(MoO_4)_3$  (где  $R = Pr, Nd, Sm, Eu, Gd, Tb, Dy$ ) образуют две термодинамически стабильные кристаллические модификации: высокотемпературную  $\beta$ -фазу (пр. гр.  $P\bar{4}2_1m$ ) и низкотемпературную  $\alpha$ -фазу (пр. гр.  $C2/c$ ) [1]. При нагревании фазовый переход  $\alpha - \beta$  наблюдается при  $T \sim 1078 \div 1260$  К (температура перехода возрастает при уменьшении атомного номера редкой земли) и характеризуется значительным увеличением удельного объема ( $\sim 25\%$ ) [1, 2]. Такое большое различие в удельных объемах замедляет кинетику полиморфного превращения и позволяет легко переохлаждать  $\beta$  фазу до низких температур. В области метастабильности  $\beta$ -фазы наблюдается переход при  $418 \div 508$  К (в зависимости от атомного номера катиона  $R$ ) в другую метастабильную фазу  $\beta'$  (пр. гр.  $Pba2$ ). Фаза  $\beta'$  является сегнетоэлектрической, а сам переход  $\beta - \beta'$  сопровождается малыми объемными и тепловыми эффектами [1, 3].

В работе [2] Брикснер, исходя из предположения, что высокое давление должно способствовать превращению "рыхлой" метастабильной  $\beta'$ -фазы в более плотную стабильную  $\alpha$ -фазу, осуществил барическую обработку  $Gd_2(MoO_4)_3$  до давлений 6,5 ГПа при температурах  $T \leq 670$  К. Однако воздействие давления привело не к  $\beta' - \alpha$  превращению, а к аморфизации. При нагреве аморфного  $Gd_2(MoO_4)_3$  наблюдался экзотермический пик в температурном интервале 816 – 863 К. Не достигнув желаемого результата, Брикснер не продолжил эти исследования, и работа [2] до сих пор оставалась единственной публикацией, посвященной твердофазной аморфизации соединения  $Gd_2(MoO_4)_3$ . Представлялось интересным провести исследования воздействия высокого давления на структурное состояние не только  $Gd_2(MoO_4)_3$ , но и ряда других изоморфных соединений семейства  $R_2(MoO_4)_3$ . В настоящей работе в качестве таких объектов исследования были взяты  $Gd_2(MoO_4)_3$ ,  $Tb_2(MoO_4)_3$ ,  $Sm_2(MoO_4)_3$  и  $TbGd(MoO_4)_3$ . Показано, что все эти соединения аморфизируются при воздействии высокого давления. Определены интервалы устойчивости полученных аморфных модификаций и измерены величины теплот их кристаллизации.

Исследования проводили на монокристаллах и порошках указанных выше соединений редкоземельных молибдатов, имеющих исходную  $\beta'$ -структур. Барическую обработку образцов осуществляли в камере высокого давления типа "тороид" при давлениях  $\sim 7$  ГПа и комнатной температуре. Время выдержки в этих условиях варьировалось от 2 час до 3 суток. Калориметрические

<sup>1)</sup>E-mail: ponyatov@issp.ac.ru

исследования выполняли на микрокалориметре DSC-7 фирмы "Perkin Elmer" в температурном интервале  $300 \div 1020$  К при скорости сканирования 10 К/мин. Для рентгенодифракционных измерений использовали дифрактометр "Siemens D-500". Съемка велась при комнатной температуре на  $\text{Cu}K\alpha$ -излучении.

На рис.1 представлены дифрактограммы соединений  $\text{Gd}_2(\text{MoO}_4)_3$ ,  $\text{Tb}_2(\text{MoO}_4)_3$ ,  $\text{Sm}_2(\text{MoO}_4)_3$  и  $\text{TbGd}(\text{MoO}_4)_3$  после указанных выше режимов барической обработки при временах выдержки от 2 до 4 часов. На всех рентгенограммах наблюдаются два широких пика, свидетельствующих об аморфизации этих соединений. Положения максимумов этих пиков совпадают (в пределах экспериментальной точности) для всех исследованных соединений и составляют  $0,323 \pm 0,002$  нм для первого максимума и  $0,180 \pm 0,001$  нм для второго. При аморфизации наблюдается изменение цвета образцов  $\text{Tb}_2(\text{MoO}_4)_3$  и  $\text{TbGd}(\text{MoO}_4)_3$  с бесцветного на желтый и бледно-желтый, соответственно, тогда как у соединений  $\text{Gd}_2(\text{MoO}_4)_3$  и  $\text{Sm}_2(\text{MoO}_4)_3$  изменения цвета не происходит, и они остаются в аморфном состоянии, соответственно, бесцветными и желтыми.

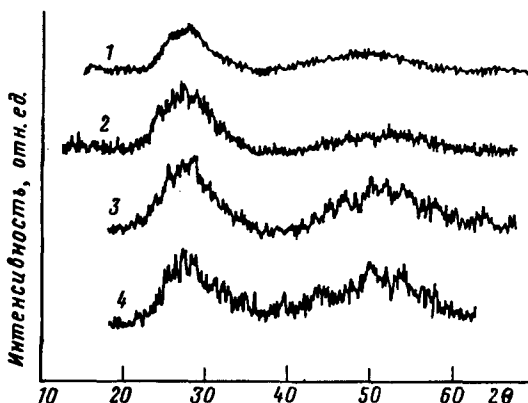


Рис.1. Дифрактограммы аморфных модификаций редкоземельных молибдатов: 1 –  $\text{Sm}_2(\text{MoO}_4)_3$ ; 2 –  $\text{Tb}_2(\text{MoO}_4)_3$ ; 3 –  $\text{TbGd}(\text{MoO}_4)_3$ ; 4 –  $\text{Gd}_2(\text{MoO}_4)_3$

При нагреве аморфной фазы на калориметрических зависимостях наблюдается значительное тепловыделение при  $T \geq 770$  К (рис.2), обусловленное кристаллизацией образцов. Значение теплот кристаллизации составляют 30,6, 28,3, 21,2 и 19,8 кДж/моль для  $\text{Sm}_2(\text{MoO}_4)_3$ ,  $\text{Gd}_2(\text{MoO}_4)_3$ ,  $\text{TbGd}(\text{MoO}_4)_3$  и  $\text{Tb}_2(\text{MoO}_4)_3$ , соответственно. При последующих циклах нагрева (рис.3) высокотемпературный экзотермический пик на калориметрических зависимостях отсутствует, однако появляется пик, соответствующий сегнетоэлектрическому переходу  $\beta' - \beta$ . Если по величине известного из литературы [3] теплового эффекта  $\beta' - \beta$ -перехода вычислить массу превращающейся  $\beta'$ -фазы, то она составит  $\sim 50 - 60\%$  от массы образца, заложенного в калориметр, что указывает на многофазность образца после перехода из аморфного состояния в кристаллическое. Действительно, на рентгенограммах исходно аморфных  $\text{R}_2(\text{MoO}_4)_3$  образцов после их первого нагрева до температур  $\sim 870$  К идентифицируются линии, относящиеся к  $\alpha$ - и  $\beta'$ -фазам, а также дополнительные линии, которые могут быть приписаны их окислам  $\text{R}_2\text{O}_3$  и  $\text{MoO}_3$ . Отметим, что нагрев производился до температур, меньших, чем температура полиморфного превращения  $\alpha - \beta$ . Следовательно,  $\beta$ -фаза образовалась из аморфного состояния в области ее метастабильности.

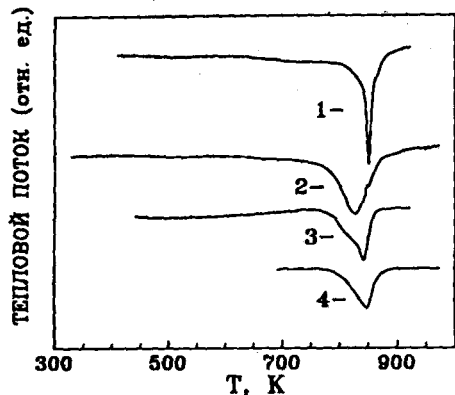


Рис.2

Рис.2. Калориметрические зависимости процесса кристаллизации; 1 –  $\text{Sm}_2(\text{MoO}_4)_3$ ; 2 –  $\text{Gd}_2(\text{MoO}_4)_3$ ; 3 –  $\text{Tb}_2(\text{MoO}_4)_3$ ; 4 –  $\text{TbGd}(\text{MoO}_4)_3$

Рис.3. Калориметрические зависимости трех последовательных нагревов аморфного  $\text{Gd}_2(\text{MoO}_4)_3$ : 1 – первый нагрев; 2 – второй нагрев; 3 – третий нагрев.  $T_{\beta'-\beta}$  – температура сегнетоэлектрического перехода

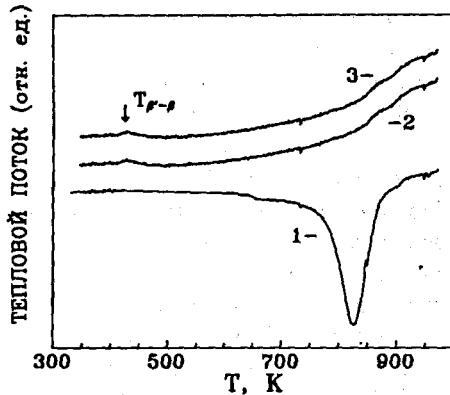


Рис.3

После выдержки образцов под давлением  $\sim 7 \text{ ГПа}$  более 1 суток, на их дифрактограммах помимо широких максимумов появляются рефлексы от кристаллических фаз. Хотя полная идентификация этих линий затруднена из-за их значительного уширения, тем не менее среди наиболее интенсивных можно установить рефлексы от плотной  $\alpha$ -фазы, а также от окислов редкой земли и молибдена.

Почти все вещества, переходящие в аморфное состояние при повышении давления (например  $\text{C}$ ,  $\text{SiO}_2$  [4–6]), при понижении давления (например  $\text{Ge}$ ,  $\text{Si}$ ,  $\text{GaSb}$  [7–9]), а также как при повышении, так и при понижении давления (например  $\text{H}_2\text{O}$  [10–12]) обладают одной общей особенностью – наличием по крайне мере двух кристаллических модификаций, сильно различающихся по удельному объему. Линии плавления менее плотной фазы имеют вид кривых с максимумом или отрицательным наклоном к оси давлений, а кривые плавления более плотной фазы имеют положительный наклон.

В соответствии с такой топологией фазовых  $P-T$ -диаграмм процесс аморфизации обычно связывают с потерей устойчивости кристалла к дальнему порядку при пересечении экстраполированной в метастабильную область кривой плавления [13]. Если точка пересечения кривой плавления расположена ниже температуры стеклования ( $T_g$ ) этого материала, а кинетика полиморфного превращения заторможена, происходит аморфизация образца. Процесс твердофазной аморфизации, осуществляемый таким образом, может рассматриваться как "плавление" кристаллической фазы ниже  $T_g$ , сопровождающееся потерей дальнего порядка при сохранении химического состава исходной кристаллической фазы.

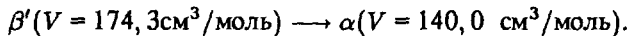
Однако возможны и другие причины твердофазной аморфизации веществ под давлением, например деструкция химического соединения. Если соединение становится термодинамически неустойчивым по отношению к своему исходному химическому составу при воздействии давления, то может сущ-

ствовать температурный интервал, в котором кристаллизация продуктов такого распада заторможена, тогда процесс деструкции останавливается на первоначальной стадии, приводя к потере и дальнего, и ближнего порядков. Подобное явление, по-видимому, имеет место в  $\text{Nb}_2\text{O}_5$  [14]. Термодинамическим стимулом такого процесса аморфизации будет член  $\Delta P \Delta V$  в потенциале Гиббса, где  $\Delta P$  – превышение давления над равновесным значением для данного соединения, а  $\Delta V$  – разность удельных объемов этого соединения и его конечных продуктов деструкции.

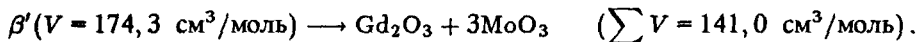
Если в описанных выше случаях переход в аморфное состояние интерпретировать как "конгруэнтное плавление" вещества ниже  $T_g$ , то аморфное состояние, получаемое на первой стадии деструкции логично отождествлять с переохлажденной жидкостью, соответствующей взаимному раствору конечных продуктов реакции химического распада, а сам процесс аморфизации интерпретировать как "инконгруэнтное плавление". Основное различие между этими двумя процессами аморфизации можно установить путем дальнейшего перевода аморфной модификации, являющейся промежуточным метастабильным состоянием вещества, в конечное кристаллическое состояние, плавно варьируя либо давление, либо время выдержки, либо температуру. В первом случае система должна перейти в однофазное кристаллическое состояние, во втором случае – в состояние из кристаллических продуктов распада.

В случае соединений семейства  $\text{R}_2(\text{MoO}_4)_3$  как полиморфное превращение  $\beta' - \alpha$ , так и деструкция исходного соединения на окислы в первом приближении (без учета сжимаемости) сопровождаются практически одинаковым уменьшением объема.

1) Полиморфное превращение:



2) Деструкция:



Таким образом, в рассматриваемых соединениях конкурируют оба возможных механизма твердофазной аморфизации:

- а) потеря дальнего порядка в результате "плавления" потерявшей устойчивость  $\beta'$ -фазы;
- б) изменение ближнего химического порядка, существующего в исходном кристаллическом соединении на первой стадии деструкции и, как следствие этого, потеря и дальнего атомного порядка.

Поэтому вопрос о механизме аморфизации  $\text{R}_2(\text{MoO}_4)_3$  является не столь очевидным, но некоторые предварительные выводы на основании полученных в данной работе результатов могут быть сделаны.

К настоящему времени высокотемпературная часть фазовой  $P-T$ -диаграммы редкоземельных молибдатов не изучена и вид кривых плавления  $\alpha$ - и  $\beta$ -модификаций не известен. При этом с одной стороны, вероятность того, что температура плавления  $\beta$ -фазы может снизиться на  $\sim 1100$  К под действием давления 6–7 ГПа невелика, тем более что начальные стадии аморфизации молибдатов нами наблюдались уже при давлениях  $\simeq 2 \div 3$  ГПа. С другой стороны, в работе [15] методом дифференциально-термического анализа

исследовался синтез  $R_2(MoO_4)_3$  из смесей  $R_2O_3$  и  $MoO_3$ . Для  $R=Sm$  авторы [15] наблюдали значительное тепловыделение при температурах  $\sim 823 \div 893$  К, что хорошо коррелирует с температурным интервалом кристаллизации аморфного  $Sm_2(MoO_4)_3$  (рис.2). Учитывая также, что при увеличении времени барической обработки на рентгенограммах появляются рефлексы от окислов  $R_2O_3$  и  $MoO_3$ , можно предположить, что при температурах в районе комнатной наиболее вероятным механизмом аморфизации является деструкция. Однако только дальнейшие детальные исследования процесса аморфизации и физических свойств полученных аморфных состояний, а также изучение фазовой  $P - T$ -диаграммы в области плавления позволяют надежно ответить на вопрос о физической причине неустойчивости  $\beta'$ -фазы этих соединений по отношению к потере дальнего порядка.

Работа финансировалась Российским фондом фундаментальных исследований (проекты 93-02-03661 и 93-02-03271). Авторы благодарят А.Ф.Гурова за помощь в проведении некоторых калориметрических измерений и Б.К.Пономарева за полезные замечания при обсуждении результатов

- 
1. L.H.Brixner, J.R.Barkley, and W.Jeitschko, *Handbook on the Physics and Chemistry of Rare Earths*, ed. K.A.Gschneidner, Jr. Eyring and L.Eyring, Ch. 30, 610 (1979).
  2. L.H.Brixner, *Mat. Res. Bull.* **7**, 879 (1972).
  3. A.Fouskova, *J. Phys. Soc. Japan* **27**, 1699 (1969).
  4. А.Ф.Гончаров, *ЖЭТФ* **98**, 1824 (1990).
  5. R.J.Hemley, A.P.Jephcoat, H.K.Mao et.al., *Nature* **334**, 52 (1988).
  6. R.M.Hazen, L.W.Finger, R.J.Hemley, and H.K.Mao, *Solid State Commun.* **72**, 507 (1989).
  7. D.R.Clarke, M.C.Kroll, P.D.Kirchner et. al., *Phys. Rev. Lett.* **60**, 2156 (1988).
  8. В.В.Бражкин, А.Г.Ляпин, С.В.Попова, Р.Н.Волошин, Письма в *ЖЭТФ* **56**, 156 (1992).
  9. В.Ф.Дегтярева, И.Т.Белаш, Е.Г.Понятовский, В.И.Рашупкин, *ФТТ* **32**, 1429 (1990).
  10. O.Mishima, L.D.Calvert, and E.Whalley, *Nature* **310**, 393 (1984).
  11. D.D.Klug, Y.P.Handa, J.S.Tse, and E.Whalley, *Chem. Phys.* **90**, 2390 (1989).
  12. V.V.Sinitsyn and A.I.Kolesnikov, *High Pressure Research* **9-10**, 225 (1991).
  13. E.G.Ponyatovsky and O.I.Barkalov, *Mater. Sci. Reports* **8**, 147 (1992).
  14. G.C.Serghiou, R.P.Winters, and W.S.Hammack, *Phys. Rev. Lett.* **68**, 3311 (1992).
  15. Е.Я.Роде, Г.В.Лысанова, В.Г.Кузнецов, Л.З.Гохман, *Ж. Неогр. Химии.* **XIII**, 1295 (1968).